

纯旋量超弦

本科毕业答辩

郑卜凡

指导老师：杜一剑

2025 年 5 月 11 日



- ① 为什么要研究弦振幅?
- ② 纯旋量超弦
- ③ 盘面散射振幅
- ④ 构建 SYM 树图 BCJ 分子

为何在能标远低于 Planck 能标情况下还要研究弦振幅？

- 历史起源说：

弦理论第一个公式是 Veneziano 公式，提出时是作为强相互作用的经验公式，后来发现实则是四快子开弦振幅

- 场论学家说：

弦理论在弦长极限下退化为量子场论，所以对弦振幅的研究有助于理解场论振幅，比如 KLT 关系 [KLT86] 给出规范理论振幅和引力振幅的内在联系；世界面积分的想法催生了量子场论振幅的 CHY 公式 [CHY14b; CHY14a]

- 数学家也说：

弦理论的发展涉及到许多前沿数学的应用，近年研究指出弦理论振幅可以看作是数论函数，如 Multi Zeta Values，的生成函数，从而与数学产生联系 [Bro+14]

RNS 超弦不香吗?

由于玻色弦存在不稳定真空以及无法描述费米子等问题，通过加入超对称便可得到费米子自由度，最早发展的一类超弦是通过添加世界面旋量得到的**RNS 超弦**：

$$S = \frac{1}{2\pi} \int d^2z \left(\frac{2}{\alpha'} \partial X^\mu \bar{\partial} X_\mu + \psi^\mu \bar{\partial} \psi_\mu + \bar{\psi}^\mu \partial \bar{\psi}_\mu \right) \quad (1)$$

再利用一圈配分函数模不变性要求的**GSO 投影**便可以剔除快子态并且匹配玻色和费米自由度。但是真正需要的靶空间超对称在 RNS 超弦中被隐藏。后续又发展了靶空间超对称的**GS 超弦**：

$$S_{\text{GS}} = \frac{1}{\pi} \int d^2z \left[\frac{1}{2} \Pi^m \bar{\Pi}_m + \frac{1}{4} \Pi_m (\theta \gamma^m \bar{\partial} \theta) - \frac{1}{4} \bar{\Pi}_m (\theta \gamma^m \partial \theta) \right] \quad (2)$$

但是其只能在光锥坐标下量子化！

RNS 超弦不香吗?

由于玻色弦存在不稳定真空以及无法描述费米子等问题, 通过加入超对称便可得到费米子自由度, 最早发展的一类超弦是通过添加世界面旋量得到的 **RNS 超弦**:

$$S = \frac{1}{2\pi} \int d^2z \left(\frac{2}{\alpha'} \partial X^\mu \bar{\partial} X_\mu + \psi^\mu \bar{\partial} \psi_\mu + \bar{\psi}^\mu \partial \bar{\psi}_\mu \right) \quad (1)$$

Hide target spacetime SUSY

再利用一圈配分函数模不变性要求的 **GSO 投影** 便可以剔除快子态并且匹配玻色和费米自由度。但是真正需要的靶空间超对称在 RNS 超弦中被隐藏。后续又发展了靶空间超对称的 **GS 超弦**:

$$S_{\text{GS}} = \frac{1}{\pi} \int d^2z \left[\frac{1}{2} \Pi^m \bar{\Pi}_m + \frac{1}{4} \Pi_m (\theta \gamma^m \bar{\partial} \theta) - \frac{1}{4} \bar{\Pi}_m (\theta \gamma^m \partial \theta) \right] \quad (2)$$

Break Lorentz covariant

但是其只能在光锥坐标下量子化!

鱼与熊掌不可兼得

这两种方案都不完美，振幅计算上 RNS 超弦拥有洛伦兹协变的顶角算符从而更加方便，但对于非平凡靶空间背景下超弦理论的构造 GS 形式有更多优势。Siegle 后续又对 GS 形式进行了改进使得其可以协变量子化：

$$S_{\text{Siegel}} = \frac{1}{\pi} \int d^2z \left[\frac{1}{2} \partial X^m \bar{\partial} X_m + p_\alpha \bar{\partial} \theta^\alpha \right] \quad (1)$$

但是这一方案与 RNS 超弦不等价，关键在于 RNS 超弦和 Siegle 超弦都有非平凡的洛伦兹 Noether 流：

$$\Sigma_{\text{RNS}}^{mn} = -\psi^m \psi^n, \quad \Sigma_{\text{Siegel}}^{mn} = -\frac{1}{2} (p \gamma^{mn} \theta)$$

鱼与熊掌不可兼得

这两种方案都不完美，振幅计算上 RNS 超弦拥有洛伦兹协变的顶角算符从而更加方便，但对于非平凡靶空间背景下超弦理论的构造 GS 形式有更多优势。Siegle 后续又对 GS 形式进行了改进使得其可以协变量子化：

$$S_{\text{Siegel}} = \frac{1}{\pi} \int d^2z \left[\frac{1}{2} \partial X^m \bar{\partial} X_m + p_\alpha \bar{\partial} \theta^\alpha \right] \quad (1)$$

但是这一方案与 RNS 超弦不等价，关键在于 RNS 超弦和 Siegle 超弦都有非平凡的洛伦兹 Noether 流，但它们的算符乘积展开不同：

$$\Sigma_{\text{RNS}}^{mn}(z) \Sigma_{\text{RNS}}^{pq}(w) \sim \frac{\delta p^{[m} \Sigma^{n]q}(w) - \delta q^{[m} \Sigma^{n]p}(w)}{z - w} + \frac{\delta^m [q \delta p] n}{(z - w)^2}$$

$$\Sigma_{\text{Siegel}}^{mn}(z) \Sigma_{\text{Siegel}}^{pq}(w) \sim \frac{\delta p^{[m} \Sigma^{n]q}(w) - \delta q^{[m} \Sigma^{n]p}(w)}{z - w} + 4 \frac{\delta^m [q \delta p] n}{(z - w)^2}$$

Berkovits 的天才想法

Berkovits 试图通过在 Siegle 形式中加入一对玻色鬼场 $(\lambda_\alpha, w^\alpha)$, 从而将 Siegle 超弦的 Lorentz 流补充为 $\Sigma^{mn} + N^{mn}$, 不难发现只要有下面 OPE 成立就有希望得到 Lorentz 协变、靶空间超对称且等价于 RNS 超弦的形式:

$$N^{mn}(z)N^{pq}(w) \sim \frac{\delta^{p[m}N^{n]q}(w) - \delta^{q[m}N^{n]p}(w)}{z-w} - 3\frac{\delta^{m[q}\delta^{p]n}}{(z-w)^2} \quad (2)$$

Berkovits 通过 $U(5)$ 分解进行计算做到了这一点: [Ber00]

$$S_{\text{PS}} = \frac{1}{\pi} \int d^2z \left(\frac{1}{2} \partial X^m \bar{\partial} X_m + p_\alpha \bar{\partial} \theta^\alpha - w_\alpha \bar{\partial} \lambda^\alpha \right) \quad (3)$$

BRST 算符幂零, $Q_{\text{BRST}}^2 = 0$, 要求靶空间旋量满足约束 $\lambda \gamma^\mu \lambda = 0$, 数学上称 λ_α 为**纯旋量**。所以 Berkovits 发现的这以理论形式也被称为**纯旋量超弦**。

Berkovits 的天才想法

Berkovits 试图通过在 Siegle 形式中加入一对玻色鬼场 $(\lambda_\alpha, w^\alpha)$, 从而将 Siegle 超弦的 Lorentz 流补充为 $\Sigma^{mn} + N^{mn}$, 不难发现只要有下面 OPE 成立就有希望得到 Lorentz 协变、靶空间超对称且等价于 RNS 超弦的形式:

$$N^{mn}(z)N^{pq}(w) \sim \frac{\delta p^{[m}N^{n]q}(w) - \delta q^{[m}N^{n]p}(w)}{z-w} - 3\frac{\delta p^{[q}\delta p^{n]}n}{(z-w)^2} \quad (2)$$

Berkovits 通过 $U(5)$ 分解进行计算做到了这一点: [Ber00]

$$S_{\text{PS}} = \frac{1}{\pi} \int d^2z \left(\frac{1}{2} \partial X^m \bar{\partial} X_m + p_\alpha \bar{\partial} \theta^\alpha - w_\alpha \bar{\partial} \lambda^\alpha \right) \quad (3)$$

由于纯旋量约束所以 (3) 不是自由 CFT, 但是 Berkovits 将其 $U(5)$ 分解到自由变量后发现刚好会给出正确的 OPE 补偿 (2)。而且中心荷 $c_{\text{Siegle}} = -22 \neq 0$, λw 鬼场刚好补偿了这一中心荷。

不同于场振幅按照顶点个数展开，弦论振幅微扰展开是由世界面欧拉数决定的：

$$\mathcal{A}^{\text{planar}}(s, t) = g_s^2 \underbrace{\text{Disk}}_{\checkmark} + g_s^4 \underbrace{\text{Annulus}}_{\times} + g_s^4 \underbrace{\text{Möbius strip}}_{\times} + \dots$$

后面关注开弦振幅最低阶，**盘面振幅**的贡献。纯旋量超弦一般的盘面振幅由下面的公式给出：

$$\mathcal{A}(P) = \int_{D(P)} dz \langle\langle V_1(z_1) U_2(z_2) \dots U_{n-2}(z_{n-2}) V_{n-1}(z_{n-1}) V_n(z_n) \rangle\rangle \quad (4)$$

BRST 量子化得到的无质量态积分顶角算符 U 和无积分顶角算符 V 为:

$$U(z) = \partial\theta^\alpha A_\alpha(X, \theta) + A_m(X, \theta)\Pi^m + d_\alpha W^\alpha(X, \theta) + \frac{1}{2}N_{mn}F^{mn}(X, \theta)$$

$$V(z) = \lambda^\alpha A_\alpha(X, \theta), \quad \{A_{\alpha/m}, W^\alpha, F^{mn}\} \text{ (a.k.a. } K) \in 10\text{D SYM}$$

(4) 中关联函数计算第一步是利用物质场 OPE 展开顶角算符 OPE:

$$X^\mu(z, \bar{z})X^\nu(w, \bar{w}) \sim -\eta^{\mu\nu} \ln|z-w|^2, \quad d_\alpha(z)\theta^\beta(w) \sim \frac{\delta_\alpha^\beta}{z-w},$$

$$d_\alpha(z)d_\beta(w) \sim -\frac{\gamma_{\alpha\beta}^\mu \Pi_\mu(w)}{z-w}, \quad d_\alpha(z)\Pi^\mu(w) \sim \frac{(\gamma^\mu \partial\theta(w))_\alpha}{z-w},$$

$$\Pi^\mu(z)\Pi^\nu(w) \sim -\frac{\eta^{\mu\nu}}{(z-w)^2}, \quad d_\alpha(z)K \sim \frac{D_\alpha K}{z-w}, \quad \Pi^m(z)K \sim -\frac{\partial^m K}{z-w}$$

$$D_\alpha = \frac{\partial}{\partial\theta^\alpha} + \frac{1}{2}(\gamma^\mu\theta)_\alpha\partial_\mu, \quad \Pi^m = \partial X^m + \frac{1}{2}(\theta\gamma^m\partial\theta)$$

$$d_\alpha = p_\alpha - \frac{1}{2}\left(\partial X^m + \frac{1}{4}(\theta\gamma^m\partial\theta)\right)(\gamma_m\theta)_\alpha$$

BRST 量子化得到的无质量态积分顶角算符 U 和无积分顶角算符 V 为：

$$U(z) = \partial\theta^\alpha A_\alpha(X, \theta) + A_m(X, \theta)\Pi^m + d_\alpha W^\alpha(X, \theta) + \frac{1}{2}N_{mn}F^{mn}(X, \theta)$$

$$V(z) = \lambda^\alpha A_\alpha(X, \theta), \quad \{A_{\alpha/m}, W^\alpha, F^{mn}\} \text{ (a.k.a. } K) \in 10\text{D SYM}$$

第二步是把超场按照 θ 展开，这个时候 K 关于 X 的平面波依赖已经被物质场 OPE 吸收了，只剩下鬼场零模需要计算，它们与世界面坐标无关，鬼场积分测度为：

$$\langle (\lambda\gamma^m\theta)(\lambda\gamma^n\theta)(\lambda\gamma^p\theta)(\theta\gamma_{mnp}\theta) \rangle = 2880 \quad (5)$$

而 SYM 超场的展开式十分复杂，比如：

$$A_i^m(X, \theta) = \left\{ (\cosh \sqrt{O})^m {}_q e_i^q + \left(\frac{\sinh \sqrt{O}}{\sqrt{O}} \right)^m {}_q (\theta\gamma^q \chi_i) \right\} e^{k \cdot X} \quad (6)$$

其中选取了 $ik^\mu \rightarrow k^\mu$ 的符号约定， $O^m{}_q := \frac{1}{2}(\theta\gamma^m{}_{qn}\theta)k_i^n$.

纯旋量超弦虽然在描述圈级振幅上相较于 RNS 超弦更有利，但是树级振幅计算乍看起来优势并不明显。但是倘若我们将顶角算符看作一个整体，他们的 OPE 之间有非常神奇的规律，且具有自由李代数结构：

$$V_A(z_a)U_B(z_b) \sim \frac{V_{[A,B]}(z_b)}{z_{ab}}, \quad U_A(z_a)U_B(z_b) \sim \frac{U_{[A,B]}(z_b)}{z_{ab}} \quad (7)$$

这里指标 A 可以是一个李多项式，而不必是单粒子指标，其定义只需要做指标替换 $K_i \rightarrow K_A$ ，而多粒子超场 K_A 和单粒子超场 K_i 之间又存在确定的递推关系，比如 Lorenz 规范下：

$$\begin{aligned} \hat{A}_{\alpha}^{[P,Q]} &= \frac{1}{2} \left[\hat{A}_{\alpha}^Q(k_Q \cdot \hat{A}_P) + \hat{A}Q^m(\gamma_m \hat{W}_P)\alpha - (P \leftrightarrow Q) \right] \\ \hat{A}_{[P,Q]}^m &= \frac{1}{2} \left[\hat{A}_Q^m(k_Q \cdot \hat{A}_P) + \hat{A}_n^P \hat{F}_Q^{nm} + (\hat{W}_P \gamma^m \hat{W}_Q) - (P \leftrightarrow Q) \right] \\ \hat{W}_{[P,Q]}^{\alpha} &= \frac{1}{4} \hat{F}_P^{rs}(\gamma_{rs} \hat{W}_Q)^{\alpha} + \frac{1}{2} (k_Q \cdot \hat{A}_P) \hat{W}_Q^{\alpha} + \frac{1}{2} \hat{W}_Q^{m\alpha} \hat{A}_m^P - (P \leftrightarrow Q) \\ \hat{F}_{[P,Q]}^{mn} &= \frac{1}{2} \left[\hat{F}_Q^{mn}(k_Q \cdot \hat{A}_P) + \hat{F}_Q^{p|mn} \hat{A}_p^P + \hat{F}_Q^{[m} \hat{F}_P^{n]r} - 2\gamma_{\alpha\beta}^{[m} \hat{W}_P^{n]\alpha} \hat{W}_Q^{\beta} - (P \leftrightarrow Q) \right] \end{aligned}$$

纯旋量超弦虽然在描述圈级振幅上相较于 RNS 超弦更有利，但是树级振幅计算乍看起来优势并不明显。但是倘若我们将顶角算符看作一个整体，他们的 OPE 之间有非常神奇的规律，且具有自由李代数结构：

$$V_A(z_a)U_B(z_b) \sim \frac{V_{[A,B]}(z_b)}{z_{ab}}, \quad U_A(z_a)U_B(z_b) \sim \frac{U_{[A,B]}(z_b)}{z_{ab}} \quad (7)$$

这里指标 A 可以是一个李多项式，而不必是单粒子指标，其定义只需要做指标替换 $K_i \rightarrow K_A$ ，而多粒子超场 K_A 和单粒子超场 K_i 之间又存在确定的递推关系

所以其实可以递推地得到任意点无质量态盘面振幅：[MSS13a; MSS13b]

$$\mathcal{A}_n(P) = (2\alpha')^{n-3} \int d\mu_P^n \sum_{AB=23\dots n-2} \langle (V_{1A}\mathcal{Z}_{1A})(V_{(n-1)\bar{B}}\mathcal{Z}_{n-1,\bar{B}})V_n \rangle + \text{perm} \quad (8)$$

$$\mathcal{Z}_{123\dots p} := \frac{1}{z_{12}z_{23}\cdots z_{p-1,p}}, \quad \int d\mu_P^n := \int_{D(P)} dz_2 dz_3 \cdots dz_{n-2} \prod_{1 \leq i < j}^{n-1} |z_{ij}|^{-2\alpha' s_{ij}}$$

色-运动学对偶

考虑将规范理论用三顶角图（不必是费曼图）编码：

$$\mathcal{A}_n = \sum_{i \in \Gamma_n} \frac{c_i N_i}{D_i} \quad (9)$$

这里极点 D_i 完全由内线给出，并不是重点. 分子部分 [BCJ08] 猜想存在一种编码方式，使得 $\{N_i\}$ 满足和色因子 $\{c_i\}$ 由图的顶点结构给出的相同的 Lie 代数结构：

$$c_i + c_j + c_k = 0$$

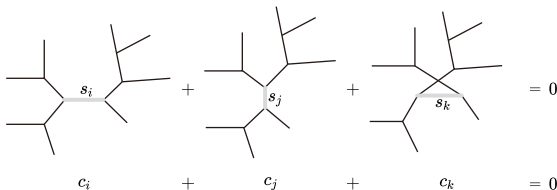
而一旦得到这样的 $\{N_i\}$ ，只用将 $\{c_i\}$ 也替换为 $\{N_i\}$ 便可得到微扰引力振幅！这样的分子称为**BCJ 分子**。

色-运动学对偶

考虑将规范理论用三顶角图（不必是费曼图）编码：

$$\mathcal{A}_n = \sum_{i \in \Gamma_n} \frac{c_i N_i}{D_i} \xrightarrow[\text{Loop } \exists \{N_i\} ?]{\text{Tree } \exists \{N_i\} \checkmark} \mathcal{M}_n = \sum_{i \in \Gamma_n} \frac{N_i N_i}{D_i} = \sum_{i \in \Gamma_n} \frac{N_i \tilde{N}_i}{D_i} \quad (9)$$

这里极点 D_i 完全由内线给出，并不是重点. 分子部分 [BCJ08] 猜想存在一种编码方式，使得 $\{N_i\}$ 满足和色因子 $\{c_i\}$ 由图的顶点结构给出的相同的 Lie 代数结构：



$$c_i + c_j + c_k = 0$$

而一旦得到这样的 $\{N_i\}$ ，只用将 $\{c_i\}$ 也替换为 $\{N_i\}$ 便可得到微扰引力振幅！这样的分子称为**BCJ 分子**。

在 DDM 基底下可以将 (9) 写成下面的形式: [DDM00]

$$\mathcal{A}_n^{\text{gauge}} = \sum_{P, Q \in S_{n-2}} c_{1|P|n} m(1, P, n|1, Q, n) N_{1|Q|n} \quad m(\bullet|\bullet) \text{ for } \text{tr } \phi^3 \text{ Amp.}$$

这些 $\{N_i\}$ 之间相互独立, 所以只要我们将 SYM 振幅写成上面的形式, 就能立即读出 BCJ 分子, 而纯旋量超弦很容易做到这一点 [MSS11]。首先利用 Z 积分可以将超弦振幅 (8) 改写为:

$$\mathcal{A}_n(P) = \sum_{AB=23 \cdots n-2} \langle V_{1A} V_{(n-1)\tilde{B}} V_n \rangle (-1)^{|B|-1} Z(P|1, A, n, B, n-1) + \text{perm} \quad (10)$$

$$Z(P|Q) := (2\alpha')^{n-3} \int_{D(P)} \frac{dz_1 dz_2 \cdots dz_n}{\text{vol}(\text{SL}_2(\mathbb{R}))} \prod_{i < j}^n |z_{ij}|^{-2\alpha' s_{ij}} \text{PT}(Q) \quad (11)$$

在弦长极限下 $\lim_{\alpha' \rightarrow 0} Z(P|Q) = m(P|Q)$, $\mathcal{A}_n(P)^{\text{string}} \rightarrow \mathcal{A}_n(P)^{\text{gauge}}$

仍在 DDM 基底上展开, 但写成偏振幅形式且对外腿进行适当重排:

$$\mathcal{A}_n(P)^{\text{gauge}} = \sum_{Q \in S_{n-2}} N_{1|Q|n-1} m(P|1, Q, n-1), \quad \sum_Q \sim \sum_{AnB} + \text{perm}$$

这些 $\{N_i\}$ 之间相互独立, 所以只要我们将 SYM 振幅写成上面的形式, 就能立即读出 BCJ 分子, 而纯旋量超弦很容易做到这一点 [MSS11]。首先利用 Z 积分可以将超弦振幅 (8) 改写为:

$$\mathcal{A}_n(P)^{\text{string}} \xrightarrow{\alpha' \rightarrow 0} \sum_{AB=23 \cdots n-2} \langle V_{1A} V_{(n-1)\tilde{B}} V_n \rangle (-1)^{|B|-1} m(P|1, A, n, B, n-1) + \text{perm}$$

$$Z(P|Q) := (2\alpha')^{n-3} \int_{D(P)} \frac{dz_1 dz_2 \cdots dz_n}{\text{vol}(\text{SL}_2(\mathbb{R}))} \prod_{i < j}^n |z_{ij}|^{-2\alpha' s_{ij}} \text{PT}(Q) \quad (10)$$

在弦长极限下 $\lim_{\alpha' \rightarrow 0} Z(P|Q) = m(P|Q)$, $\mathcal{A}_n(P)^{\text{string}} \rightarrow \mathcal{A}_n(P)^{\text{gauge}}$

仍在 DDM 基底展开, 但写成偏振幅形式且对外腿进行适当重排:

$$\mathcal{A}_n(P)^{\text{gauge}} = \sum_{Q \in S_{n-2}} N_{1|Q|n-1} m(P|1, Q, n-1), \quad \sum_Q \sim \sum_{AnB} + \text{perm}$$

这些 $\{N_i\}$ 之间相互独立, 所以只要我们将 SYM 振幅写成上面的形式, 就能立即读出 BCJ 分子, 而纯旋量超弦很容易做到这一点 [MSS11]。首先利用 Z 积分可以将超弦振幅 (8) 改写为:

$$\mathcal{A}_n(P)^{\text{string}} \xrightarrow{\alpha' \rightarrow 0} \sum_{AB=23 \cdots n-2} \langle V_{1A} V_{(n-1)\tilde{B}} V_n \rangle (-1)^{|B|-1} m(P|1, A, n, B, n-1) + \text{perm}$$

$$Z(P|Q) := (2\alpha')^{n-3} \int_{D(P)} \frac{dz_1 dz_2 \cdots dz_n}{\text{vol}(\text{SL}_2(\mathbb{R}))} \prod_{i < j}^n |z_{ij}|^{-2\alpha' s_{ij}} \text{PT}(Q) \quad (10)$$

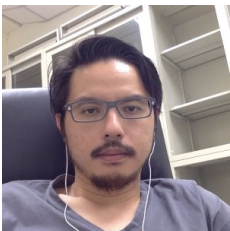
在弦长极限下 $\lim_{\alpha' \rightarrow 0} Z(P|Q) = m(P|Q)$, $\mathcal{A}_n(P)^{\text{string}} \rightarrow \mathcal{A}_n(P)^{\text{gauge}}$

$$\Rightarrow N_{1|AnB|n-1} = (-1)^{|B|-1} \langle V_{1A} V_{(n-1)\tilde{B}} V_n \rangle$$

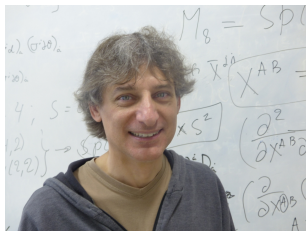
这样便显式地构造出了 BCJ 分子!

□

Thanks!



Yu-tin Huang



Nathan Berkovits

Your Praise, My Phoenix Flame

- [BCJ08] Z. Bern, J. J. M. Carrasco, and Henrik Johansson. “New Relations for Gauge-Theory Amplitudes”. In: (2008).
- [Ber00] Nathan Berkovits. “Super Poincare covariant quantization of the superstring”. In: (2000).
- [Bro+14] Johannes Broedel et al. “All order α' -expansion of superstring trees from the Drinfeld associator”. In: (2014).
- [CHY14a] Freddy Cachazo, Song He, and Ellis Ye Yuan. “Scattering of Massless Particles in Arbitrary Dimensions”. In: (2014).
- [CHY14b] Freddy Cachazo, Song He, and Ellis Ye Yuan. “Scattering of Massless Particles: Scalars, Gluons and Gravitons”. In: (2014).
- [DDM00] Vittorio Del Duca, Lance J. Dixon, and Fabio Maltoni. “New color decompositions for gauge amplitudes at tree and loop level”. In: (2000).

- [KLT86] H. Kawai, D. C. Lewellen, and S. H. H. Tye. “A Relation Between Tree Amplitudes of Closed and Open Strings”. In: (1986).
- [MSS11] Carlos R. Mafra, Oliver Schlotterer, and Stephan Stieberger. “Explicit BCJ Numerators from Pure Spinors”. In: (2011).
- [MSS13a] Carlos R. Mafra, Oliver Schlotterer, and Stephan Stieberger. “Complete N-Point Superstring Disk Amplitude I. Pure Spinor Computation”. In: (2013).
- [MSS13b] Carlos R. Mafra, Oliver Schlotterer, and Stephan Stieberger. “Complete N-Point Superstring Disk Amplitude II. Amplitude and Hypergeometric Function Structure”. In: (2013).